

ОТРИЦАТЕЛЬНОЕ МАГНИТОСОПРОТИВЛЕНИЕ В ДВОЙНЫХ ИСКАЖЕННЫХ ПЕРОВСКИТАХ $\text{Ca}(\text{Cu}_x\text{Mn}_{3-x})\text{Mn}_4\text{O}_{12}$

A. H. Васильев, O. С. Волкова, Е. А. Гудилин*

*Московский государственный университет им. М. В. Ломоносова
119992, Москва, Россия*

Поступила в редакцию 15 марта 2005 г.

При замещении марганца на медь в одной из позиций двойного искаженного перовскита $\text{Ca}(\text{Cu}_x\text{Mn}_{3-x})\text{Mn}_4\text{O}_{12}$ происходит изменение валентности марганца в другой позиции. Это сопровождается резким повышением температуры магнитного упорядочения и сменой полупроводникового типа проводимости на металлический. В широком интервале температур в этих материалах наблюдается отрицательное магнитосопротивление, величина которого $[\rho(H) - \rho(0)] \cdot 100\%/\rho(0)$ достигает 10% в поле 1 Тл при температуре жидкого азота.

PACS: 65.40.Ba, 72.80.Ga, 75.47.Gk

1. ВВЕДЕНИЕ

Колоссальное отрицательное магнитосопротивление в сложных оксидах и халькогенидах 3d-металлов наблюдается, как правило, вблизи перехода в магнитоупорядоченное состояние [1–4]. Ферромагнитная компонента этого состояния во многих случаях обусловлена присутствием в структуре этих соединений разновалентных ионов переходных металлов. В такой ситуации магнитное упорядочение связано с двойным обменным взаимодействием, которое также обуславливает высокую электропроводность [5]. Магнитные переходы в веществах с колоссальным магнитосопротивлением зачастую тесно связаны со структурными фазовыми превращениями, поскольку в структуре этих соединений содержатся ян-теллеровские ионы [6].

Двойной искаженный перовскит $\text{CaMn}_3\text{Mn}_4\text{O}_{12}$ содержит в своей структуре разновалентные ионы марганца (Mn^{4+} и 6Mn^{3+}), однако достигает магнитоупорядоченного состояния лишь при низких температурах ($T_C = 49$ К) и ферромагнитная компонента в этом состоянии мала [7]. Основная роль в магнитном поведении этого соединения принадлежит, по-видимому, суперобменному взаимодействию, которое носит антиферромагнитный характер. Структурный фазовый переход в этом соединении проис-

ходит при $T = 440$ К, не сказываясь на его магнитных свойствах [8].

По мере замещения марганца Mn^{3+} на медь Cu^{2+} в одной из позиций $\text{CaMn}_3\text{Mn}_4\text{O}_{12}$ происходит повышение валентности марганца в другой позиции от Mn^{3+} до Mn^{4+} . Крайний член этого ряда $\text{CaCu}_3\text{Mn}_4\text{O}_{12}$ вообще не содержит разновалентных ионов одного и того же переходного металла, однако имеет высокую температуру магнитного упорядочения ($T_C = 340$ К) и ферромагнитная составляющая в его намагниченности велика [9, 10]. Во всех медь-замещенных двойных искаженных перовскитах этого ряда наблюдается отрицательное магнитосопротивление, величина которого возрастает с удалением от температуры Кюри.

Свойства двойных искаженных перовскитов $\text{Ca}(\text{Cu}_x\text{Mn}_{3-x})\text{Mn}_4\text{O}_{12}$ во многом отличны от свойств других соединений со структурой перовскита [11–15], что стимулировало проведение настоящего комплексного исследования физических свойств этих материалов.

2. ПРИГОТОВЛЕНИЕ ОБРАЗЦОВ

Металлооксидное соединение $\text{CaMn}_3\text{Mn}_4\text{O}_{12}$ представляет собой двойной искаженный перовскит $\text{AC}_3\text{B}_4\text{O}_{12}$, кристаллизуется в ромбоэдрической решетке типа $\text{NaMn}_7\text{O}_{12}$, пространственная группа $R\bar{3}$

*E-mail: vasil@mig.phys.msu.ru

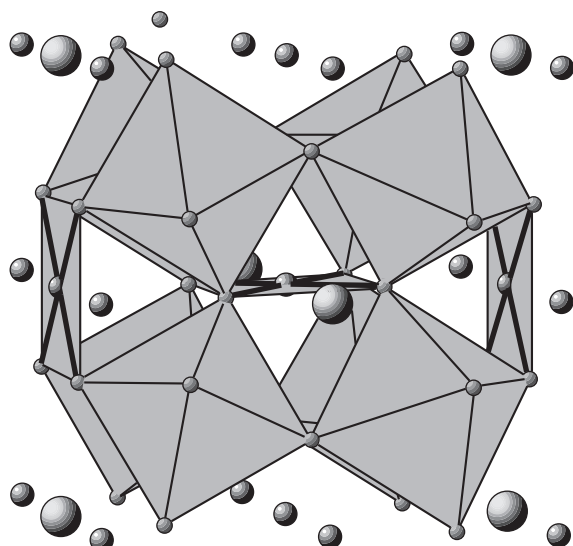


Рис. 1. Кристаллическая структура $\text{Ca}(\text{Cu}_x\text{Mn}_{3-x})\text{Mn}_4\text{O}_{12}$. Ионы Cu^{2+} и Mn^{3+} находятся в квадратной координации ионов O^{2-} . Ионы Mn^{3+} и Mn^{4+} находятся в октаэдрическом окружении ионов O^{2-} . Катионы Ca^{2+} существенно превышают по размеру катионы Mn^{3+}

[16]. Структура этого соединения в полиэдрическом представлении показана на рис. 1. В квадратах MnO_4 (позиция С) находится только Mn^{3+} , а в октаэдрах MnO_6 (позиция В) находятся как Mn^{3+} , так и Mn^{4+} . Квадраты MnO_4 не связаны между собой, а октаэдры MnO_6 связаны по вершинам и образуют каркас этой структуры. Замещение Mn^{3+} на Cu^{2+} в позиции С сопровождается повышением симметрии кристаллической решетки до кубической типа $\text{CaCu}_3\text{Ti}_4\text{O}_{12}$, пространственная группа $I\bar{m}\bar{3}$ (при $x > 0.5$) [17].

Синтез соединений $\text{Ca}(\text{Cu}_x\text{Mn}_{3-x})\text{Mn}_4\text{O}_{12}$ ($x = 0.5, 1, 2$) проводился с применением пиролиза аэрозоля нитратов. Исходные реагенты CaCO_3 , Mn_2O_3 и CuO в стехиометрическом соотношении растворялись при нагревании в избытке азотной кислоты. Полученный раствор затем диспергировался в ультразвуковой ванне и потоком воздуха транспортировался в реактор, где при 700°C происходило разложение нитратов. Субмикронные частицы полученного порошка были запрессованы в таблетки и затем отожжены в токе кислорода в течение 48 ч при $T = 850^\circ\text{C}$. Образец с $x = 2$ отжигался в атмосфере кислорода при давлении около 30 атм (48 ч, $T = 850^\circ\text{C}$). Однофазность полученных образцов и их соответствие структурному типу $I\bar{m}\bar{3}$ было подтверждено рентгенографическим ана-

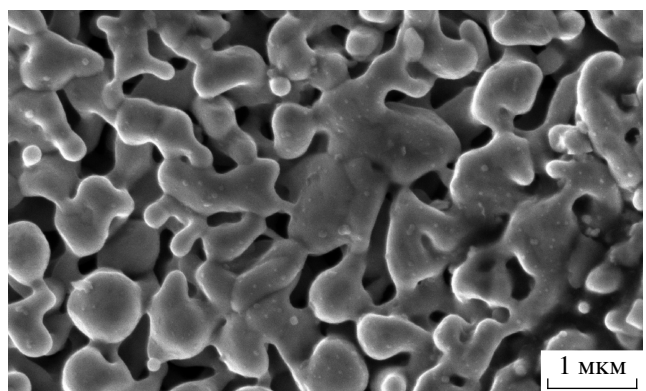


Рис. 2. Микрофотография $\text{CaCuMn}_6\text{O}_{12}$, полученная методом сканирующей электронной микроскопии на установке Leo Supra 50 VP

лизом. Морфология $\text{CaCuMn}_6\text{O}_{12}$ иллюстрируется рис. 2. Образец представляет собой трехмерную губку, образованную субмикронными гранулами.

Физические свойства $\text{Ca}(\text{Cu}_x\text{Mn}_{3-x})\text{Mn}_4\text{O}_{12}$ ($x = 0.5, 1, 2$) измерялись в интервале температур 5–300 К в магнитных полях до 1 Тл. Низкополевая магнитная восприимчивость на частоте 2.5 кГц измерялась магнитометром переменного тока «Термис». Теплоемкость измерялась релаксационным квазиадиабатическим калориметром «Термис». Со противление и магнитосопротивление измерялись стандартным четырехточечным методом.

3. ТЕРМОДИНАМИЧЕСКИЕ СВОЙСТВА

Температурные зависимости низкополевой магнитной восприимчивости χ для соединения $\text{Ca}(\text{Cu}_x\text{Mn}_{3-x})\text{Mn}_4\text{O}_{12}$ ($x = 0.5, 1, 2$) представлены на рис. 3. Они имеют вид, характерный для неупорядоченных феримагнетиков с конкурирующими магнитными взаимодействиями. Начальное возрастание восприимчивости с переходом в магнитоупорядоченное состояние сменяется ее убыванием за счет спин-стекольных эффектов. При частичном замещении марганца на медь температура T_C магнитного упорядочения повышается примерно от 90 К при $x = 0.5$, составляет около 200 К при $x = 1$ и достигает приблизительно 290 К при $x = 2$. Значения T_C для каждого из исследованных образцов практически совпадают с параметром Θ в законе Кюри–Вейсса $\chi = N_A g^2 \mu_{eff}^2 / 3k_B(T - \Theta)$, что указывает на отсутствие фruстрационных эффектов в структуре этого соединения. Эффективные магнитные моменты $\mu_{eff} = 10\text{--}12 \mu_B$ в этих

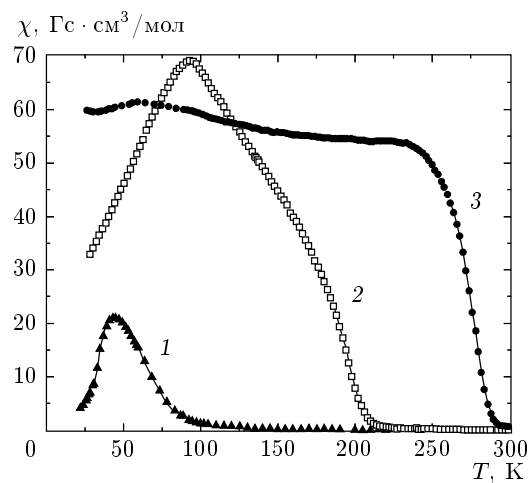


Рис. 3. Температурные зависимости низкопольевой магнитной восприимчивости $\text{Ca}(\text{Cu}_x\text{Mn}_{3-x})\text{Mn}_4\text{O}_{12}$ при следующем содержании меди: $x = 0.5$ — кривая 1, $x = 1$ — 2, $x = 2$ — 3

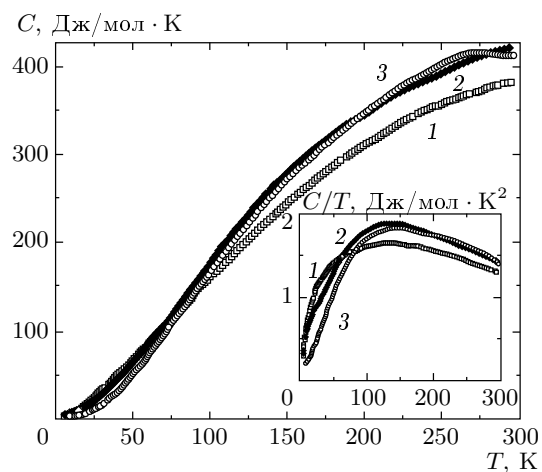


Рис. 4. Температурные зависимости теплоемкости $\text{Ca}(\text{Cu}_x\text{Mn}_{3-x})\text{Mn}_4\text{O}_{12}$ при следующем содержании меди: $x = 0.5$ — кривая 1, $x = 1$ — 2, $x = 2$ — 3. На вставке эти зависимости представлены в координатах $C/T - T$

соединениях, рассчитанные из температурного хода χ в парамагнитной области в предположении $g = 2$, хорошо согласуются с теоретическими значениями, рассчитанными для каждой данной комбинации ионов Cu^{2+} ($S = 1/2$), Mn^{3+} ($S = 2$) и Mn^{4+} ($S = 3/2$).

Температурные зависимости теплоемкости C таблеток $\text{Ca}(\text{Cu}_x\text{Mn}_{3-x})\text{Mn}_4\text{O}_{12}$ ($x = 0.5, 1, 2$) представлены на рис. 4. На зависимостях $C(T)$

для образцов с $x = 0.5$ и $x = 1$ четко выраженные аномалии при магнитном упорядочении отсутствуют, тогда как на зависимости $C(T)$ для образца с $x = 2$ виден излом вблизи температуры Кюри. Отсутствие четко выраженных особенностей на зависимостях $C(T)$ в $\text{Ca}(\text{Cu}_x\text{Mn}_{3-x})\text{Mn}_4\text{O}_{12}$ указывает, прежде всего, на магнитную неоднородность исследованных образцов на молекулярном уровне. Катионы Cu^{2+} замещают катионы Mn^{3+} в позиции С случайным образом, и столь же случайно распределены катионы Mn^{3+} и Mn^{4+} в позиции В. Это приводит к размытию фазовых переходов и перераспределению магнитной теплоемкости в широком интервале температур. Видно, однако, что теплоемкость образцов с $x = 0.5$ и $x = 1$ при низких температурах существенно превышает теплоемкость образца с $x = 2$. При высоких температурах реализуется обратная ситуация. Это связано с тем, что магнитная теплоемкость выделяется в основном ниже температуры Кюри, которая в образцах $\text{CaCu}_{0.5}\text{Mn}_{6.5}\text{O}_{12}$ ($T_C \approx 90$ К) и $\text{CaCuMn}_6\text{O}_{12}$ ($T_C \approx 200$ К) ниже, чем в образце $\text{CaCu}_2\text{Mn}_5\text{O}_{12}$ ($T_C \approx 290$ К). Более ярко вариации теплоемкости при изменении содержания меди в образцах проявляются в представлении приведенной теплоемкости C/T от T (см. вставку к рис. 4).

4. КИНЕТИЧЕСКИЕ СВОЙСТВА

Температурные зависимости удельного сопротивления ρ , измеренные в отсутствие магнитного поля, представлены на рис. 5. С увеличением содержания меди Cu^{2+} в исследованных образцах происходит резкое уменьшение удельного сопротивления. Характер зависимостей $\rho(T)$ меняется от полупроводникового в $\text{CaCu}_{0.5}\text{Mn}_{6.5}\text{O}_{12}$ и $\text{CaCuMn}_6\text{O}_{12}$ до металлического в $\text{CaCu}_2\text{Mn}_5\text{O}_{12}$. В образце с $x = 0.5$, который обладает достаточно большим удельным сопротивлением, энергию активации, рассчитанную из температурного хода удельного сопротивления $\rho = \rho_0 \exp(E_a/k_B T)$, удалось определить лишь в парамагнитной области $E_{para} = 125$ мэВ. При температуре магнитного упорядочения на зависимости $\ln \rho$ от $1/T$ в образце с $x = 1$ имеет место излом, что отвечает уменьшению энергии активации при переходе из парамагнитной фазы $E_{para} = 60$ мэВ в магнитоупорядоченную фазу $E_{ferri} = 40$ мэВ. В образце с $x = 2$ при переходе в магнитоупорядоченную фазу также наблюдается излом на зависимости $\ln \rho$ от $1/T$, который отвечает увеличению подвижности носителей заряда.

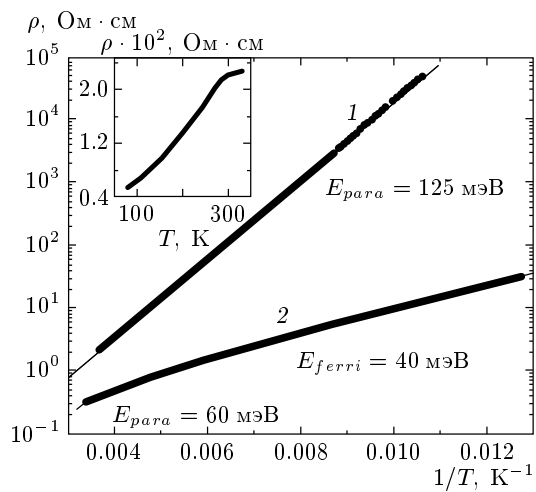


Рис. 5. Температурные зависимости удельного сопротивления полупроводникового типа в $\text{CaCu}_{0.5}\text{Mn}_{6.5}\text{O}_{12}$ (1) и $\text{CaCuMn}_6\text{O}_{12}$ (2). На вставке представлена температурная зависимость удельного сопротивления металлического типа в $\text{CaCu}_2\text{Mn}_5\text{O}_{12}$

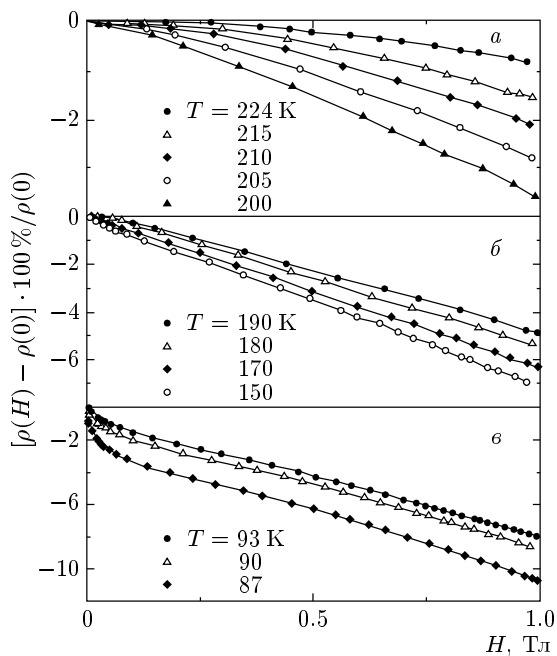


Рис. 6. Полевые зависимости сопротивления в $\text{CaCuMn}_6\text{O}_{12}$ при различных температурах выше (а), в окрестности (б) и ниже (в) температуры магнитного упорядочения $T_c \sim 200 \text{ K}$

Отрицательное магнитосопротивления во всем интервале существования магнитоупорядоченной фазы наблюдалось во всех исследованных образцах $\text{Ca}(\text{Cu}_x\text{Mn}_{3-x})\text{Mn}_4\text{O}_{12}$ ($x = 0.5, 1, 2$). Качественно все они показывают одну и ту же эволюцию магнитосопротивления с изменением температуры. Полевые зависимости сопротивления $[\rho(H) - \rho(0)] \cdot 100\% / \rho(0)$ в $\text{CaCuMn}_6\text{O}_{12}$ показаны на рис. 6. Вид этих зависимостей качественно меняется в окрестности температуры Кюри $T_C \approx 200 \text{ K}$. Это связано с тем, что при высоких температурах магнитосопротивление пропорционально квадрату магнитного поля ($\rho \propto \chi H^2$), а при низких температурах магнитосопротивление пропорционально квадрату намагниченности ($\rho \propto M^2$). В магнитоупорядоченной области намагниченность M быстро нарастает в слабых магнитных полях. Тем самым, при $T > T_C$ зависимости $\rho(H)$ оказываются суперлинейными, а при $T < T_C$ зависимости $\rho(H)$ сублинейны.

В трехмерной губке, образованной спеченными субмикронными частицами, транспортные свойства определяются не только протеканием тока в гранулах, но и туннелированием носителей между гранулами. В ситуации, когда размеры магнитных доменов сопоставимы с размерами гранул, приложение магнитного поля приводит к параллельному выстреливанию магнитных моментов гранул. Этот мезоскопический эффект также проявляется в отрицательном магнитосопротивлении.

5. ОБСУЖДЕНИЕ РЕЗУЛЬТАТОВ

Ведущую роль в формировании магнитного порядка в соединениях типа $\text{AC}_3\text{B}_4\text{O}_{12}$ играют, по-видимому, катионы в позиции В. Образованные ими октаэдры BO_6 связаны по вершинам как между собой, так и с катионами в квадратах CO_4 . Между катионами в подрешетке С нет коротких путей магнитного взаимодействия. Наличие в структуре материнского соединения $\text{CaMn}_3\text{Mn}_4\text{O}_{12}$ разновалентных ионов марганца Mn^{4+} и 3Mn^{3+} в позиции В открывает возможность двойного магнитного взаимодействия по этой подсистеме. Двойное магнитное взаимодействие реализуется по e_g -орбиталям марганца и связано с виртуальными перескоками электрона между Mn^{3+} и Mn^{4+} . Более того, двойное магнитное взаимодействие возможно также между Mn^{4+} в позиции В и Mn^{3+} в позиции С. Это взаимодействие, однако, сильно ослаблено, поскольку схемы расщепления d -оболочки в квадратном и

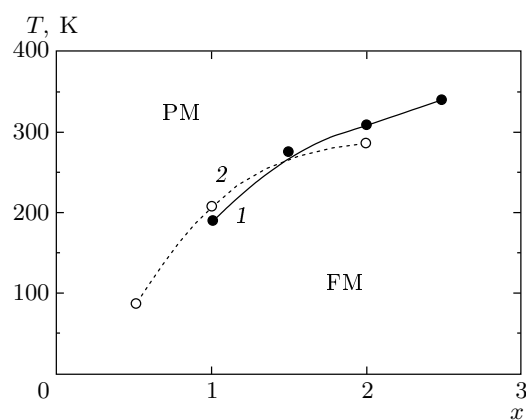


Рис. 7. Зависимости температуры магнитного упорядочения от содержания меди в $\text{Ca}(\text{Cu}_x\text{Mn}_{3-x})\text{Mn}_4\text{O}_{12}$: кривая 1 — данные работы [9], 2 — данные настоящей работы

октаэдрическом окружении различаются. Суперобменное взаимодействие между ионами марганца по t_{2g} -орбиталам носит, по-видимому, антиферромагнитный характер, хотя это взаимодействие заметно подавлено локальной геометрией связей Mn—O—Mn. Угол связей B—O—B в $\text{CaMn}_3\text{Mn}_4\text{O}_{12}$ составляет 137° , а угол связей C—O—B находится в пределах $108\text{--}113^\circ$ [16]. В результате ферромагнитная компонента в намагниченности $\text{CaMn}_7\text{O}_{12}$ мала, а магнитный порядок наступает лишь при достаточно низкой температуре, $T_C = 49$ К.

При замещении Mn^{3+} на Cu^{2+} в позиции С меняется соотношение количества ионов Mn^{3+} и Mn^{4+} в позиции В. В соединении $\text{CaCu}_{0.5}\text{Mn}_{6.5}\text{O}_{12}$ соотношение $\text{Mn}^{3+}:\text{Mn}^{4+}$ равно 5 : 3; в $\text{CaCuMn}_6\text{O}_{12}$ соотношение $\text{Mn}^{3+}:\text{Mn}^{4+}$ равно 1 : 1; в $\text{CaCu}_2\text{Mn}_5\text{O}_{12}$ соотношение $\text{Mn}^{3+}:\text{Mn}^{4+}$ равно 1 : 3. Углы связей Mn—O—Mn при этом замещении меняются слабо по сравнению с материнским соединением $\text{CaMn}_7\text{O}_{12}$. Тем самым для объяснения монотонного роста температуры Кюри и усиления ферромагнитной составляющей намагниченности следует учитывать также взаимодействие между Cu^{2+} в позиции С и Mn^{4+} в позиции В. Только это взаимодействие остается в соединении $\text{CaCu}_3\text{Mn}_4\text{O}_{12}$, которое имеет наивысшую температуру Кюри в пределах этого ряда $T_C \approx 355$ К [9]. Зависимость температуры магнитного упорядочения от содержания меди в соединениях $\text{Ca}(\text{Cu}_x\text{Mn}_{3-x})\text{Mn}_4\text{O}_{12}$ представлена на рис. 7. Согласно анализу магнитных взаимодействий, проведенному в работах [9, 10, 18], магнитная структура этих соединений при $0 < x < 3$ соответ-

ствует ферримагнитному упорядочению, причем в работе [18] постулируется, что суперобменное взаимодействие между ионами Mn^{4+} по t_{2g} -орбиталям в позиции В носит ферромагнитный характер. Более важным нам, однако, представляется тот факт, что при угле примерно 109° для связи C—O—B суперобменное взаимодействие электронов на t_{2g} -орбиталях Mn^{4+} с электронами на e_g -орбиталях Cu^{2+} носит антиферромагнитный характер.

Авторы выражают благодарность А. Г. Вересову, К. В. Климову, А. В. Кнотько, Е. А. Поповой за участие в характеризации исследованных образцов. Настоящая работа выполнена при финансовой поддержке РФФИ (гранты №№ 03-02-16108, 04-03-08078, 04-03-32183а).

ЛИТЕРАТУРА

1. *Colossal Magnetoresistance, Charge Ordering and Related Properties of Manganese Oxides*, ed. by C. N. R. Rao and B. Raveau, World Sci., Singapore (1998).
2. *Colossal Magnetoresistive Oxides*, ed. by Y. Tokura, Gordon and Breach, New York (1999).
3. M. B. Salamon and M. Jaime, Rev. Mod. Phys. **73**, 583 (2001).
4. N. A. Babushkina, L. M. Belova, D. I. Khomskii, K. I. Kugel, O. Yu. Gorbenko, and A. R. Kaul, Phys. Rev. B **59**, 6994 (1999).
5. A. Rozenzwaig, Phys. Rev. **181**, 946 (1969).
6. I. Bersuker, *The Jahn-Teller Effect*, Cambridge Univ. Press, Cambridge (2005).
7. E. A. Pomerantseva, D. M. Itkis, E. A. Goodilin et al., J. Mater. Chem. **14**, 1 (2004).
8. I. O. Troyanchuk, L. S. Lobanovsky, N. V. Kasper et al., Phys. Rev. B **58**, 14903 (1998).
9. Z. Zeng, M. Greenblatt, M. A. Subramanian, and M. Croft, Phys. Rev. Lett. **82**, 3164 (1999).
10. Z. Zeng, M. Greenblatt, J. E. Sustrom IV et al., J. Sol. St. Chem. **147**, 185 (1999).
11. H. Hwang, S.-W. Cheong, P. Radaelli et al., Phys. Rev. Lett. **75**, 914 (1995).
12. P. Schiffer, A. Ramirez, W. Bao, and S.-W. Cheong, Phys. Rev. Lett. **75**, 3336 (1995).

13. А. Н. Васильев, Т. Н. Волошок, Р. Суриянараянан,
Письма в ЖЭТФ **73**, 392 (2001).
14. D. A. Filippov, K. V. Klimov, R. Z. Levitin et al., J.
Phys.: Condens. Matter **15**, 8351 (2003).
15. I. O. Troyanchuk, V. A. Khomchenko, G. M. Chobot
et al., J. Phys.: Condens. Matter **15**, 8865 (2003).
16. B. Bochu, J. L. Buevoz, J. Chenavas et al., Sol. St.
Comm. **36**, 133 (1980).
17. J. Chenavas, J. C. Joubert, M. Marezio, and B. Bochu,
J. Sol. St. Chem. **14**, 25 (1975).
18. R. Weht and W. E. Pickett, E-print archives,
cond-mat/0011316.